

京都大学 工学部 正 平岡正勝, 兵庫県 生活部 正 高内政彦
兵庫県 生活部 正 長谷川明

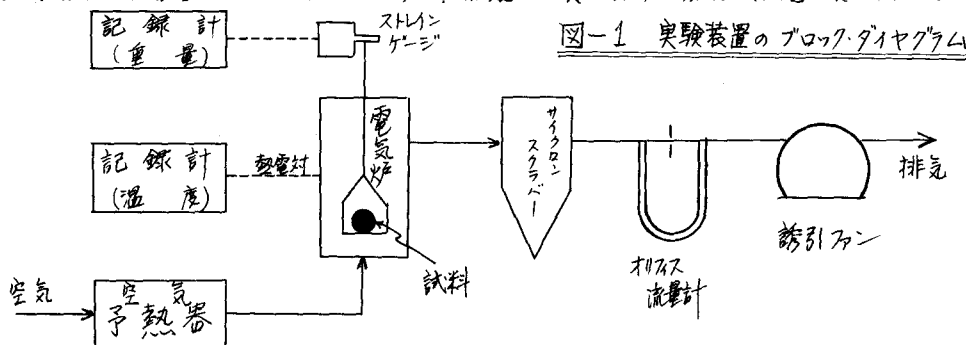
[はじめに] 本報は下木スラッジ処理法の1つである焼却処理をとりあげ、このスラッジの燃焼機構を化学工学的に解析しようとするものである。実験としては、絶熱状態のスラッジ球を電気炉の中で燃焼させ、可燃分の減少速度から反応速度を求めることができ、また理論的解析としては、気固相反応モデルの1つである、未反応芯(unreacted-core)モデルを用いて解析し、更にこれを応用しやすいうように簡単化した次反応型のモデルを用いて解析した。

[実験装置] 実験装置のブロック・ダイヤグラムを図-1に示す。炉の直径は 131.2 mm^{ϕ} であり、加熱部の長さは 580 mm の S_{100} を製造してある。実験炉の加熱系は 18 kW のニクロム線を用いており、空気予熱器として 6 kW を、それぞれ変圧器を用いて手動で任意の温度にコントロールできるようになっている。また、実験温度範囲は最高 1000°C までである。また、重量測定部は、ストレイン・ゲージとX-Yレコーダーを組み合せたものである。

[サンプル] 試料は京都府宇治市下水処理場のフィルター・ケーキを使用した。このスラッジは、生活泥を財部濃縮し、葉注後、真空フィルターで脱水したものである。ケーキの含水率は、到着ベースで72%、組成は乾量基準で灰分44%、有機物56%である。葉注量は FeCl_3 6%, (CaCO_3) 30%である。このような成分のフィルター・ケーキを直径 $10, 20, 30, 40\text{ mm}^{\phi}$ の4種類の球に成型して、これをサンプルとした。

[着火・燃焼過程] スラッジ球の燃焼過程を観察すると、実験開始後数秒～数10秒で着火する。この着火時間(着火準備時間)を $t_1[\text{sec}]$ とし、零固気温度を $T_g[{}^{\circ}\text{C}]$ とすると、 t_1 と T_g の関係は図-2のようにあり、粒径には関係なく、 T_g のみの関数といえ、 $t_1 = 2.28 \cdot 10^{-3} \cdot T_g^{0.56} \dots\dots\dots(1)$ と表わされる。とともに、これは種々の因子の関数であるが、その中で一番大きい因子は T_g である。したがって、(1)式の係数のところに、他の因子が集約された形で記入していることを知る。着火にひきつづき、黄色炎を出して揮発性物質が燃焼するが、この燃焼継続時間 $t_2[\text{sec}]$ とし、 $t_2 \cdot T_g$ の積と Re 数の関係の一例を示したのが、図-3である。この関係は次の式、 $t_2 \cdot T_g = 4249 \cdot 10^4 \cdot D_p^{0.336} \dots\dots\dots(2)$ によって表される。

[実験結果および考察] 上面のべたように、燃焼には炎をあげて燃える燃焼と炎を出さない固定



炭素燃焼があり、前者を燃焼の第1段階、後者を第2段階といふことにする。ここでは、core modelによる解析は省略し、応用のための simplified model を用いた考察を行なう。全反応過程を通じて半次反応と表してプロットした結果、 $n=1/2$ すなわち半次反応としてとまが最も良好な結果を得た。このグラフを図-4 に示す。これによると第1段と第2段の境界が直線の勾配の変化すら実とよく一致する。いま、第1、第2段階の直線の勾配を、それそれ、 α_1 とするとき、半次反応型の燃焼速度式は、 $-dC_A/dt = k_1 C_A^{1/2}$ 、 $-dC_A/dt = k_2 C_A^{1/2}$ となる。ここで C_A は可燃分率 (= 可燃分重量 / 最初のサンプル重量) である。第1段階の速度定数は、アルレニウスプロットを用いてみると、主として T_g と D_p の関数であるとすることが出来る。この関係は次式 $k_1 = 9.14 \cdot D_p^{1/15} \cdot \exp(-137/T_g)$... (3) で表示される。

次に、第2段階の速度定数は、ついつい表すると、 α_2 、 D_p などとならんで球内の空隙率 (ε) が、かなり大きな役割をはたしていると考えられる。そこで、第2段階が ash layer 扩散律速に近いと仮定して、扩散律速モデル

から得られる理論値を、半次反応としてプロットした実験値のグラフに適用すると、理論値の方が低めに見える。これは多孔質体の有効扩散係数 D_{eff} の決まり方に問題があり、Krieger の式 $D_{eff}/D_o = 0.35 \cdot \varepsilon^{2/3}$... (4) から計算した値を使つてみると、これよりも大きい値を用いるとことにより実験値と合うようになります。一方、core model による全反応終了時間の理論値 $t_{theo} = (\pi R^2 / 6 \cdot k \cdot D_{eff} \cdot C_A)$ のかわりに実験値 t_{exp} を用いて逆に求めた有効扩散係数 D_o を用いるとより補正が可能となる。このようにして得られた D_o と R_s 、 T_g の関係を調べると次のようになります。 $D_o = 0.63 \cdot 10^{-7} \cdot D_p \cdot \sqrt{R_s} \cdot \frac{1}{T_g} \cdots (5)$ 、 $D_o = 1.52 \cdot 10^{-19} \cdot T_g^{6.06} \cdots (6)$ このから、 R_s を D_p と T_g の関数と表すと、 $R_s = 5.81 \cdot 10^{-36} \cdot T_g^{12.12} / D_p^2 \cdots (7)$ となり、最終的に次の2つの速度式(燃焼式)を得る。

$$\text{第1段}: -dC_A/dt = 9.14 D_p^{1/15} \cdot \exp(-137/T_g) \cdot C_A^{1/2} \cdots (8)$$

$$\text{第2段}: -dC_A/dt = 5.81 \cdot 10^{-36} \cdot (T_g^{12.12} / D_p^2) \cdot C_A^{1/2} \cdots (9)$$

以上、応用のための simplified model として、半次型の反応速度式を用い、 T_g 、 D_p 、 C_A 関数として燃焼速度を表示することができる。[都立大学工学部卒業論文
[参考文献] 長谷川 明 「スラッシュの燃焼構造の解析」京

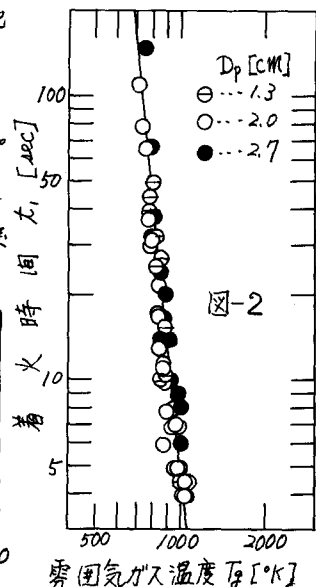


図-2

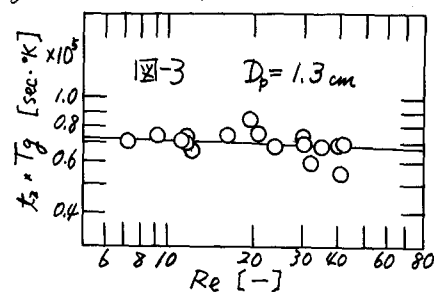


図-3 $D_p = 1.3 \text{ cm}$

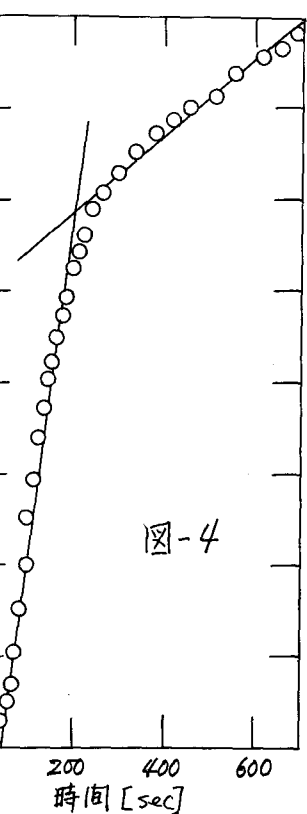


図-4